

Transmisión digital en banda base

Pulse Amplitude Modulation (PAM)

$$x_T(t) = \sum_{n=-\infty}^{+\infty} a_n p(t - nT)$$

M posibles símbolos $b \text{ bits} = \log_2 M$
 $M = 2^b$

$$r = \frac{1}{T} \text{ [símbolos/seg]}$$

$$r_b = rb \text{ [bits/seg]}$$

$$R_{x_T x_T}(t + \mathbf{t}, t) = E\{x_T(t + \mathbf{t})x_T^*(t)\} : \text{cicloestacionario}$$

$$\bar{R}_{x_T x_T}(\mathbf{t}) = \frac{1}{T} \sum_{n=-\infty}^{+\infty} R_{aa}(n) R_{pp}(\mathbf{t} - nT)$$

$$S_{x_T x_T}(f) = F\{\bar{R}_{x_T x_T}(\mathbf{t})\} = \sum_{n=-\infty}^{+\infty} R_{aa}(n) e^{-2jfnT} \frac{|P(f)|^2}{T}$$

$$m_a = E\{a_n\}$$

$$a_n \equiv A_n + m_a$$

$$S_{x_T x_T}(f) = \left[\sum_{n=-\infty}^{+\infty} R_{AA}(n) e^{-2jfnT} \right] \frac{|P(f)|^2}{T} + \frac{|m_a|^2}{T^2} \sum_{n=-\infty}^{+\infty} |P(\frac{k}{T})|^2 \mathbf{d}(f - \frac{k}{T})$$

(a) $a[n]$ estadísticamente independientes

$$S_{x_T x_T}(f) = r \mathbf{S}_a^2 |P(f)|^2 + r^2 |m_a|^2 \sum_{n=-\infty}^{+\infty} |P(kr)|^2 \mathbf{d}(f - kr)$$

(b) $a[n]$ estadísticamente independientes y media nula

$$S_{x_T x_T}(f) = r \mathbf{S}_a^2 |P(f)|^2$$

$$x_R(t)|_{t=t_k=kT} = \sum_{n=-\infty}^{+\infty} p_r(kT - nT) + w(t) = \underbrace{a_k p_r(0)}_{\text{señal}} + \underbrace{\sum_{n=-\infty, n \neq k}^{+\infty} p_r((k-n)T)}_{\text{ISI}} + \underbrace{w(t)}_{\text{ruido}}$$

$$p_r(t) \equiv p_T(t) * h_T(t) * h_C(t) * h_R(t)$$

$$w(t) \equiv n(t) * h_R(t)$$

Condición no ISI. Teorema de Nyquist

$$p(kT) = \begin{cases} 1, & k = 0 \\ 0, & k \neq 0 \end{cases} \Leftrightarrow r \sum_{k=-\infty}^{+\infty} P(f - kr) = cte$$

Teoría de la decisión

Suponemos que no hay ISI, y que trabajamos, pues, con pulsos ideales.

$$y_k = y(kT) = a_k + w(kT)$$

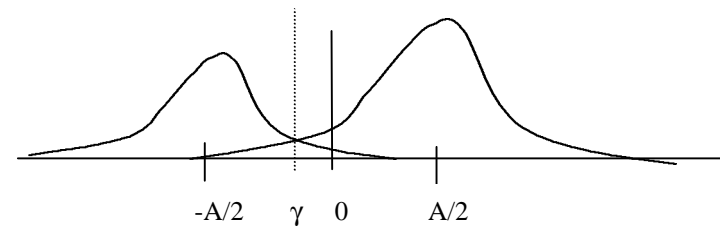
$$P_{error} = P_e = P(e|'1')P('1') + P(e|'0')P('0')$$

$$P_{error} = BER \Leftrightarrow \text{los símbolos son binarios}$$

$$H_0 = '0', H_1 = '1' \text{ hipótesis}$$

$$P_e = P(e|H_0)P(H_0) + P(e|H_1)P(H_1)$$

$$P(e|H_1) = \int_{-\infty}^{+\infty} f_{y|H_1}(y|H_1) dy = \int_{-\infty}^g f_w(y + \frac{A}{2}) dy$$



$$\mathbf{g}_{\text{óptima}} \Rightarrow \frac{\partial}{\partial \mathbf{g}} P_e(\mathbf{g}) = 0$$

$$f_{y|H_0}(y | H_0)P(H_0) = f_{y|H_1}(y | H_1)P(H_1) \Big|_{y=\mathbf{g}}$$

$$f_w(\mathbf{g} + \frac{A}{2})P(H_0) = f_w(\mathbf{g} - \frac{A}{2})P(H_1)$$

si $f_w(w) \approx \text{Gaussiana}(0, \mathbf{s}_w^2)$, $f_w(w) = \frac{1}{\sqrt{2\pi\mathbf{s}_w^2}} e^{-\frac{1}{2}\frac{w^2}{\mathbf{s}_w^2}}$

$$\Rightarrow Q(x) \equiv \int_x^{+\infty} \frac{1}{\sqrt{2\pi}} e^{-\frac{1}{2}w^2} dw \Rightarrow \mathbf{g}_{\text{óptima}} = -\frac{\mathbf{s}_w^2}{A} \ln \frac{P(H_1)}{P(H_2)}$$

Si $a[n]$ es una v.a, entonces

$$f_a(a) = P(H_0)\mathbf{d}(a + \frac{A}{2}) + P(H_1)\mathbf{d}(a - \frac{A}{2})$$

si $g = x + y$, con x e y v.as, $f_g(g) = f_x(x) * f_y(y)$ si x, y son indep.

$$f_y(y) = f_a(y) * f_w(y)$$

$$P(e | H_0) = Q\left(\frac{\mathbf{g} + A/2}{\mathbf{s}_w}\right) \quad P(e | H_1) = Q\left(\frac{\mathbf{g} - A/2}{\mathbf{s}_w}\right)$$

si $\mathbf{g} = 0 \Rightarrow P_e = Q\left(\frac{A}{2\mathbf{s}_w}\right)$

Teoría de la detección óptima

$$H_R^{\text{óptimo}}(f) = \mathbf{I} \frac{P^*(f)}{S_{nn}(f)} e^{-2pf_0}$$

Si $n(t) \approx \text{AWGN}$, $S_{nn}(f) = \frac{N_0}{2} \Rightarrow H_R^{\text{óptimo}}(f) = \mathbf{I} p^*(td - t)$

s'anomena Filtre Adaptat, i és el detector óptim amb soroll gaussià

$$h_r^{\text{óptima}}(t) = \mathbf{a} p^*(td - t)$$

$$\mathbf{a} = \frac{1}{E_p} = \frac{1}{\int_{-\infty}^{+\infty} |p(t)|^2 dt} \Rightarrow h_r^{\text{óptima}}(t) = \frac{1}{E_p} p^*(td - t)$$

$$S_T(t) = E\{|x(t)|^2\} = E\{|\sum a_n p(t - nT)|\}$$

binari polar $S_T = \frac{1}{T} \int_T S_T(t) dt = r s_a^2 E_p = r \left[\frac{1}{2} \left(\frac{A}{2}\right)^2 + \frac{1}{2} \left(-\frac{A}{2}\right)^2 \right] E_p = r \frac{A^2}{4} E_p = S_T$

$$E_b = S_T T = \frac{A^2}{2} = \sqrt{\frac{E_b}{2E_p}} \Rightarrow BER = P_e = Q\left(\frac{A}{2\mathbf{s}_w}\right) = Q\left(\sqrt{\frac{E_b}{2}}\right)$$

Sistemas multinivel

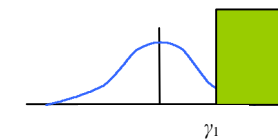
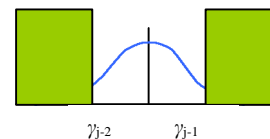
$$a_k = \left\{ \pm \frac{A}{2}, \pm 3 \frac{A}{2}, \pm 5 \frac{A}{2}, \dots, \pm (M-1) \frac{A}{2} \right\} \quad M \text{ símbolos equiprobables } p(H_i) = \frac{1}{M}$$

$$h_r(t) = \frac{1}{E_p} p^*(td - t)$$

$$f_{y|H_i}(y | H_i) = f_w(y - a_i)$$

$$\min\{P_e\} = \sum_{i=1}^M P(e | H_i)P(H_i) = \frac{1}{M} \sum_{i=1}^M P(e | H_i)$$

2 casos: centrales y extremos



Error

$$P_e = \underbrace{\frac{2}{M} P(e | H_1)}_{\text{extremos}} + \underbrace{\frac{1}{M} \sum_{i=2}^{M-1} P(e | H_i)}_{\text{centrals}} = \frac{2}{M} \int_{g_1}^{+\infty} f_W(y - a_1) dy + \frac{1}{M} \sum_{i=2}^{M-1} \left(1 - \int_{g_{i-1}}^{g_i} f_W(y - a_i) dy\right)$$

$$P_e(g_1, g_2, \dots, g_{M-1}) \Rightarrow \frac{\partial}{\partial g_j} P_e = 0 \quad \forall j \Leftrightarrow f_W(g_j - a_j) = f_W(g_j - a_{j-1})$$

$$g_j^{\text{óptima}} = \frac{a_{j+1} + a_j}{2} \Leftrightarrow \begin{cases} P\{H_i\} = \frac{1}{M} \\ f_W(w) = f_W(-w) \end{cases}$$

$$P_e = \frac{2M-2}{M} Q\left(\frac{A}{2s_w}\right) \quad \text{BER} \cong \frac{P_e}{\log_2 M}$$

$$E_b \rightarrow \frac{E_b}{N_o} \rightarrow \text{Governa la qualitat del sistema}$$

$$E_b \cong S_T \cdot T_b \cong S_T \frac{T}{b}$$

$$T_b \cong \frac{T}{b} = \frac{T}{\log_2 M}$$

$$S_T \begin{cases} R_{X_T X_T}(0) \\ \frac{1}{T} \int_T E\{|x(t)|^2\} dt \\ \text{estats independents} \end{cases}$$

$$s(t) = a_k p(t - kT)$$

$$E_s = \int_{-\infty}^{+\infty} E\{|S(t)|^2\} dt = E\{|a_k|^2\} \int_{-\infty}^{+\infty} \overbrace{E\{|p(t)|^2\}}^{E_p} dt = E\{|a_k|^2\} E_p$$

$$E_b = \frac{E_s}{b} = \frac{m^2 - 1}{12} A^2 \frac{E_p}{M \log_2 M}$$

$$P_e = \frac{2M-2}{M} Q\left(\sqrt{\frac{6 \log_2 M}{m^2 - 1}} \left(\frac{E_b}{N_o}\right)\right)$$

Polsos de Nyquist

$$p(t) = \text{sinc}(rt) = \frac{\sin(\mathbf{prt})}{\mathbf{prt}} \Leftrightarrow P(f) = T \prod(Tf)$$

$$p_N(t) \equiv p_b(t) \text{sinc}(rt) \Leftrightarrow P_N(f) = P_B(f) * \prod(Tf), P_B(f) = 0 \forall |f| \geq BW_B$$

$$BW_N = \frac{r}{2} + BW_B \cong \frac{r}{2} (1 + \mathbf{b})$$

$$\mathbf{b} \equiv \frac{BW_B}{r/2} : \text{factor de ROLL-OFF (\%)}$$

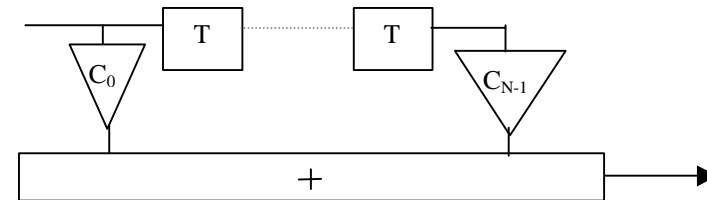
Ecuación

Igualación (compensación) del canal

Canal: forzadores de ceros, si el ruido afecta poco a la calidad del sistema

Canal + ruido: ecualización, forzadores de ceros.

Forzador de ceros



$$\begin{bmatrix} P(1) & 0 & 0 \\ p(2) & p(1) & 0 \\ p(3) & p(2) & p(1) \end{bmatrix} \begin{bmatrix} C_0 \\ C_1 \\ C_2 \end{bmatrix} = \begin{bmatrix} 1 \\ 0 \\ 0 \end{bmatrix} \text{ donde haya más señal}$$

$$PC = 1$$

$$C = P^{-1} \mathbf{1}$$

$$C_{opt}^{ZF} = (P^T P)^{-1} P^T \cdot \mathbf{1} \Leftrightarrow \text{MECM}$$

Transmisión digital paso banda

Señales y ruido

$$f_N(n) = \frac{1}{\sqrt{2ps}} e^{-\frac{1}{2}\left(\frac{n}{s}\right)^2}$$

$$S_{NN}(f) = \frac{N_o}{2}$$

Visión Geométrica

Espacio Ortogonal N - dimensional

$$\Rightarrow \{\mathbf{y}_j(t)\} \text{ funciones básicas} \mid \int_0^T \mathbf{y}_j(t) \mathbf{y}_k(t) dt = K_j \mathbf{d}_{jk}$$

donde $\mathbf{d}_{jk} = \mathbf{d}(j-k)$ Delta de Kronecker

Espacio normalizado $\Leftrightarrow K_j = 1 \Leftrightarrow$ Espacio ortonormal

$$E_j = \int_0^T \mathbf{y}_j^2(t) dt = K_j$$

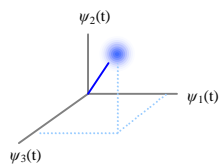
Se trata de un espacio de señal ortogonal. La distancia euclidiana, fundamental para el proceso de detección, se formula fácilmente en dicho espacio.

$\{s_i(t)\}, i = 1, \dots, M$ es tal que

$$\forall i, s_i(t) = \sum_{j=1}^N a_{ij} \mathbf{y}_j(t) \quad \begin{cases} i = 1, \dots, M \\ N \leq M \end{cases} \text{ donde}$$

$$a_{ij} = \frac{1}{K_j} \int_0^T s_i(t) \mathbf{y}_j(t) dt \quad \begin{cases} i = 1, \dots, M & 0 \leq t \leq T \\ j = 1, \dots, N \end{cases}$$

En notación vectorial, $\bar{s}_i = (a_{i1}, a_{i2}, \dots, a_{iN}) \quad i = 1, \dots, M$



Señales y ruido en un espacio tridimensional

Energía de la señal

$$E_i = \int_0^T s_i^2(t) dt = \int_0^T \left[\sum_j a_{ij} \mathbf{y}_j(t) \right]^2 dt = \sum_{j=1}^N a_{ij}^2 K_j \quad i = 1, \dots, M$$

Representación de ruido blanco con señales ortogonales

$$n(t) = \hat{n}(t) + \tilde{n}(t) \quad n(t) = \sum_{j=1}^N n_j \mathbf{y}_j(t) + \tilde{n}(t) \quad 0 = \int_0^T \tilde{n}(t) \mathbf{y}_j(t) dt$$

$$\hat{n}(t) = \sum_{j=1}^N n_j \mathbf{y}_j(t) \quad n_j = \frac{1}{K_j} \int_0^T n(t) \mathbf{y}_j(t) dt \quad \forall j \quad n_i \equiv \text{Gaussian}(m=0, \mathbf{s}^2_N)$$

$\tilde{n} = (n_1, \dots, n_2)$ independientes

Variación de un proceso blanco

$$\mathbf{s}^2 = \text{var}\{n(t)\} = \int_{-\infty}^{+\infty} \frac{N_o}{2} df = \infty$$

$$\mathbf{s}^2 = \text{var}\{n_j\} = E\left\{ \left[\int_0^T n(t) \mathbf{y}_j(t) dt \right]^2 \right\} = \frac{N_o}{2} \Leftrightarrow \text{Está filtrado}$$

Técnicas digitales de modulación paso banda

$$s(t) = A(t) \cos \mathbf{q}(t) = A(t) \cos(2pf_c t + \mathbf{f}(t))$$

$$\mathbf{q}(t) = 2pf_c t + \mathbf{f}(t)$$

Detección coherente: PLL (nos proporciona la fase de la portadora)
 Detección no coherente: No se requiere saber la fase de la portadora.

La ventaja de los sistemas no coherentes frente a los demoduladores coherentes consiste en que requieren menos complejidad, aunque el precio que se paga es un incremento en la probabilidad de error.

PSK Phase Shift Keying

$$s_i(t) = \sqrt{\frac{2E}{T}} \cos(2\pi f_c t + f_i(t)) \quad \left. \begin{array}{l} i = 1, \dots, M \\ 0 \leq t \leq T \end{array} \right\}$$

$$f_i(t) = \frac{2\pi i}{M}$$

FSK Frequency Shift Keying

$$s_i(t) = \sqrt{\frac{2E}{T}} \cos(2\pi f_i t + f) \quad \left. \begin{array}{l} i = 1, \dots, M \\ 0 \leq t \leq T \end{array} \right\}$$

ASK Amplitude Shift Keying

$$s_i(t) = \sqrt{\frac{2E_i(t)}{T}} \cos(2\pi f_o t + f) \quad \left. \begin{array}{l} i = 1, \dots, M \\ 0 \leq t \leq T \end{array} \right\}$$

APK Amplitude Phase Keying

$$s_i(t) = \sqrt{\frac{2E_i(t)}{T}} \cos(2\pi f_o t + f_i(t)) \quad \left. \begin{array}{l} i = 1, \dots, M \\ 0 \leq t \leq T \end{array} \right\}$$

Si los M símbolos en el espacio bidimensional se ordenan según un rectángulo, entonces se denomina QAM (Quadrature Amplitude Modulation)

Coefficiente de Amplitud de la onda

$$s(t) = A \cos \omega t = \sqrt{2} A_{rms} \cos \omega t = \sqrt{2 A_{rms}^2} \cos \omega t$$

A_{rms}^2 : potencia media normalizada a 1Ω

$$s(t) = \sqrt{2P} \cos \omega t$$

$$P = \frac{E}{T} \Rightarrow s(t) = \sqrt{\frac{2E}{T}} \cos \omega t$$

Detección de señales con ruido gaussiano

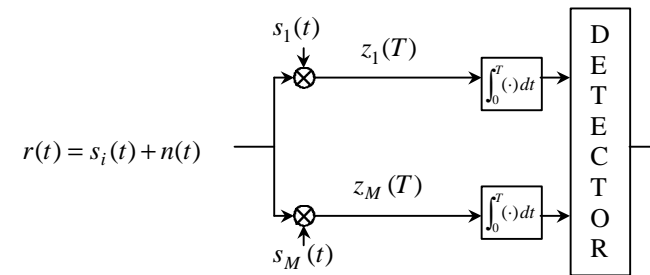
Regiones de decisión

\bar{r} : señal recibida = $\bar{s}_i + \bar{n}$

$d(\bar{r}, \bar{s}_i) = \|r - s_i\|$

Busca un i tal que $d(\bar{r}, \bar{s}_i)$ sea mínima

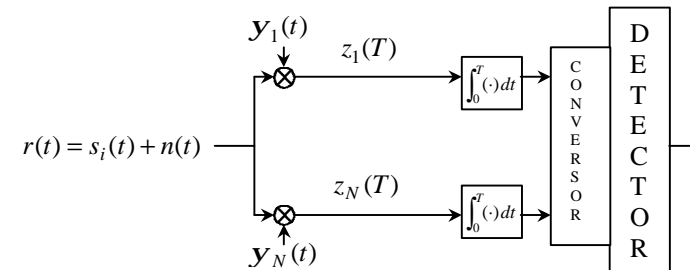
Receptor correlado a través de las señales $\{s_i(t)\}$



$$Z_i(T) = \int_0^T r(t) s_i(t) dt \quad i = 1, \dots, M$$

El detector escoge la $s_i(t)$ que corresponde a $\max\{z_i(t)\}$

Receptor correlado a través de las señales $\{y_i(t)\}$



$\{s_i(t)\}$ no es un conjunto ortogonal ya que $N < M$, mientras que $\{y_i(t)\}$ sí por lo que requiere menos correladores \Rightarrow más barato

Detección coherente

BPSK Binary PSK

$$s_1(t) = \sqrt{\frac{2E}{T}} \cos(\omega_o t + \mathbf{f}) \quad 0 \leq t \leq T$$

$$s_2(t) = \sqrt{\frac{2E}{T}} \cos(\omega_o t + \mathbf{f} + \mathbf{p}) = -s_1(t) \quad 0 \leq t \leq T$$

$$y_1(t) = \sqrt{\frac{2}{T}} \cos(\omega_o t) \quad 0 \leq t \leq T$$

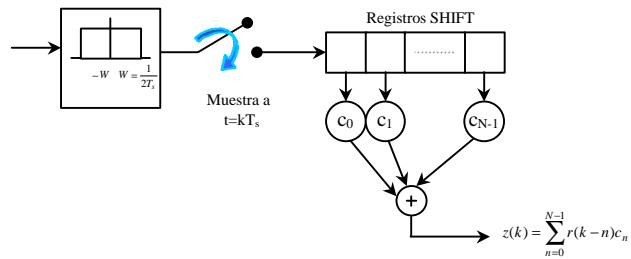
$$s_1(t) = a_1 y_1(t) = \sqrt{E} y_1(t)$$

$$s_2(t) = a_2 y_1(t) = -\sqrt{E} y_1(t)$$

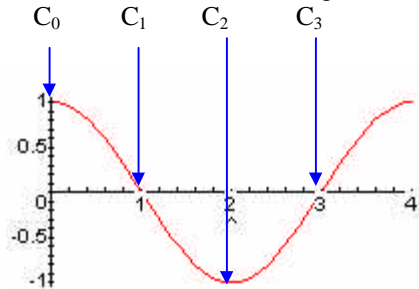
$$E\{z_1 | s_1\} = E\left\{\int_0^T \sqrt{E} y_1^2(t) + n(t) y_1(t) dt\right\} = \sqrt{E}$$

$$E\{z_1 | s_2\} = E\left\{\int_0^T -\sqrt{E} y_1^2(t) - n(t) y_1(t) dt\right\} = -\sqrt{E}$$

Filtro adaptado muestreado



Los coeficientes c_n son los siguientes:



$$c_i = \{1, 0, -1, 0\}$$

$$E\{r(k)\} = s_i(k) \quad i = 1, 2$$

$$E\{z_i(k)\} = \sum_{n=0}^{N-1} s_1(k-n)c_n$$

MPSK M-ary PSK

$$s_i(t) = \sqrt{\frac{2E}{T}} \cos(\omega_o t - \frac{2\pi i}{M})$$

$$0 \leq t \leq T$$

$$i = 1, \dots, M$$

$$y_1(t) = \sqrt{\frac{2}{T}} \cos(\omega_o t)$$

$$y_2(t) = \sqrt{\frac{2}{T}} \sin(\omega_o t)$$

$$s_i(t) = a_i y_1(t) + a_{i2} y_2(t) =$$

$$= \sqrt{E} \cos(\frac{2\pi i}{M}) y_1(t) + \sqrt{E} \sin(\frac{2\pi i}{M}) y_2(t)$$

$$r(t) = \sqrt{\frac{2E}{T}} [\cos f_i \cos \omega_o t + \sin f_i \sin \omega_o t] + n(t) \quad f_i = \frac{2\pi i}{M}$$

$$X = \int_0^T r(t) y_1(t) dt \quad Y = \int_0^T r(t) y_2(t) dt$$

Desmodulador de señales MPSK

